

特点

典型应用

磁

额定电压

号码类型

电压代码

V_{DRM}/V_{RRM} 最大重复峰值和断态电压

V_{RSM} 最大反向峰值电压

I_{DRM}/I_{RRM} T_J T_J

mA

符号	参数		单位	条件
di/dt	通态电流临界上升率 $V_{DRM} \leq$ $V_{DRM} \leq$		*&	T_J T_J % V_{DM} V_{DRM} 门脉冲 Ω t_q $6\mu s$, t_r $0.1\mu s$ max I_{TM} $\times +\%$, $- -\%$
t_{qt}	典型的导通时间			T_J $^{\circ}C$ $At=V_{DRM}/V_{RRM}, T_J$ $^{\circ}C$
t_{rr}	反向恢复时间		&	T_J T_J % I_{TM} $I_{T(AV)}, t_q > 200\mu s, -\%$ *&
t_q	典型的关断时间			T_J T_J % I_{TM} $I_{T(AV)}, t_q > 200\mu s, V_R$ $-\%$ *& $-\%$ *& $V_{DM}=67\%V_{DRM}$ 栅偏压 /
dv/dt	断态电压临界上升率		*&	T_J T_J % $V_{DM}=67\%V_{DRM}$
P_{GM}	最大峰值栅极功率		/	T_J T_J %
$P_{G(AV)}$	最大平均栅极功率		/	T_J T_J %
I_{GM}	最大峰值正栅极电流			T_J T_J %
$0V_{GM}$	最大反向峰值电压			
$-V_{GM}$	最大反向峰值电压	10	V	
I_{GT}	直流栅极电流需要触发		mA	T_J $^{\circ}C$ T_J $^{\circ}C$ T_J $^{\circ}C$
V_{GT}	直流栅极电压需要触发			T_J $^{\circ}C$ T_J $^{\circ}C$
I_{GD}	直流栅极电流触发		mA	T_J T_J % , V_{DRM} =额定值
V_{GD}	直流栅极电压触发			T_J T_J % , V_{DRM} =额定值
T_J	最大操作温度范围		$^{\circ}C$	
T_{stg}	最大存储温度范围		$^{\circ}C$	
$R_{th(j-c)}$	热阻抗(结至壳)		*/	直流操作
$R_{th(c-s)}$	热阻抗(壳至散)		*/	安装表面光滑、平坦和润滑
1	安装力		2	
W_t	质量		g	

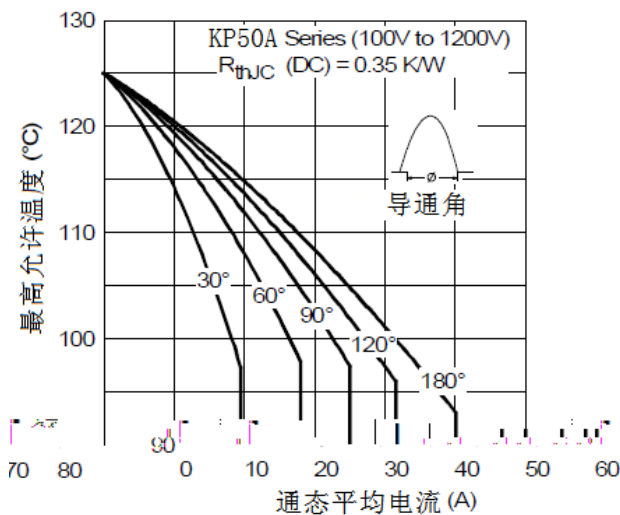


Fig. 1- 额定电流特性

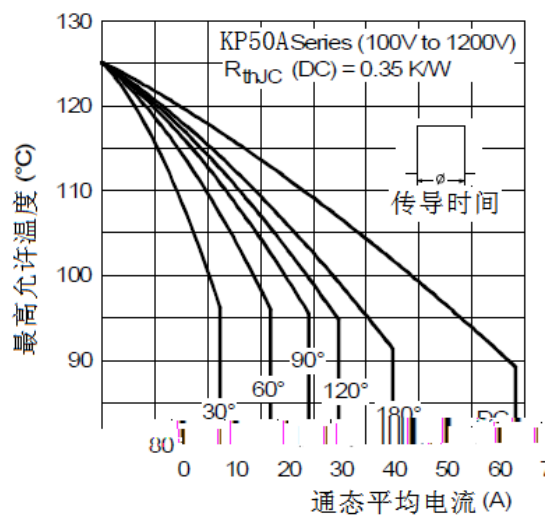


Fig. 2- 额定电流特性

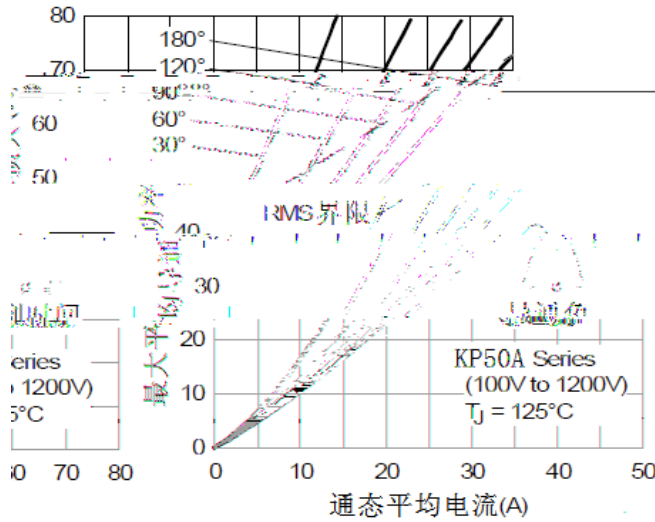


Fig. 4-

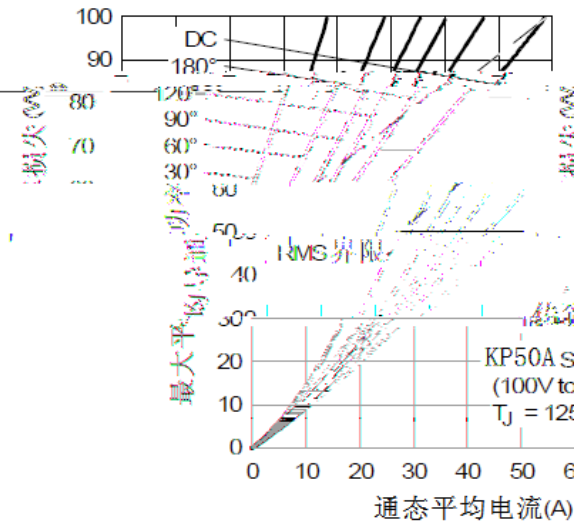


Fig. 5-

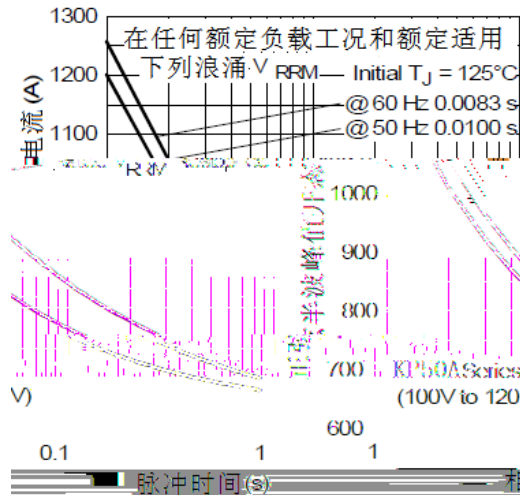


Fig. 6-最大反向浪涌电流

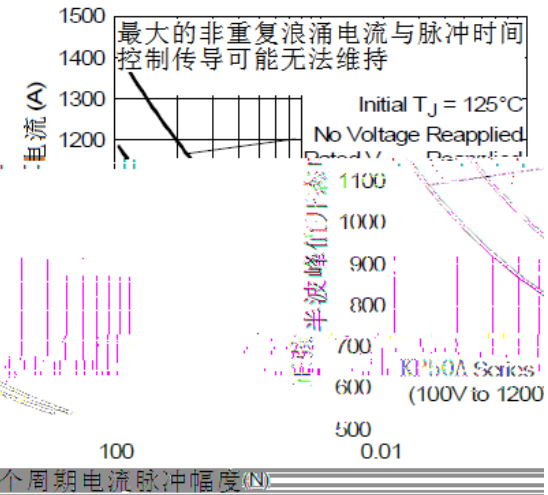


Fig. 7-最大反向浪涌电流

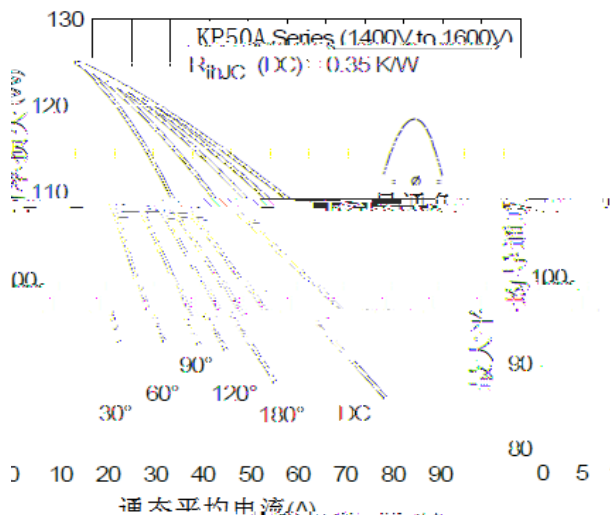


Fig. 8- 通态损耗特性

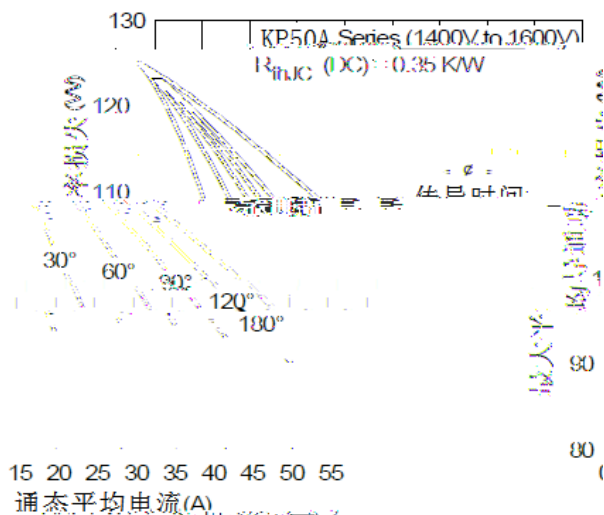


Fig. 9- 通态损耗特性

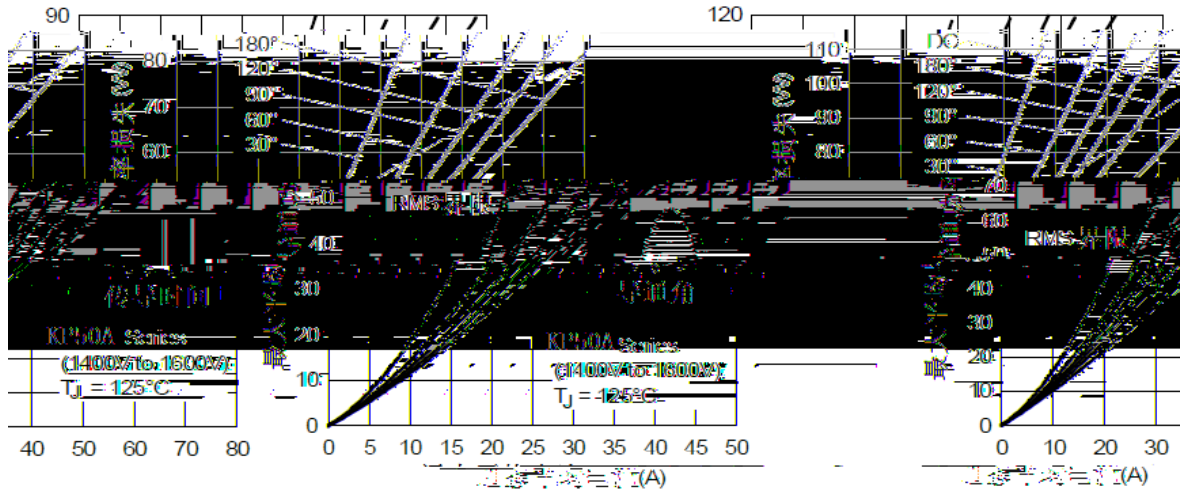


Fig. 10 - 通态损耗特性

Fig. 9 - 通态损耗特性

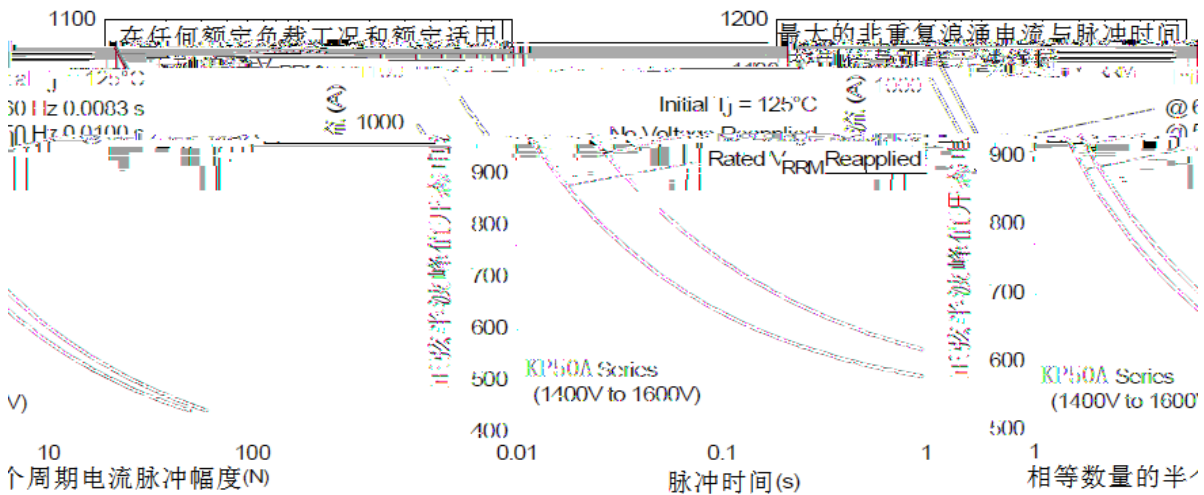


Fig. 12 - 最大反向浪涌电流

Fig. 11 - 最

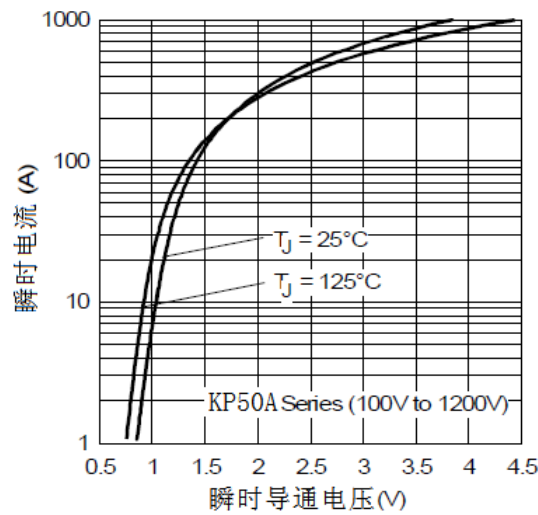


Fig. 13 - 正向压降特性

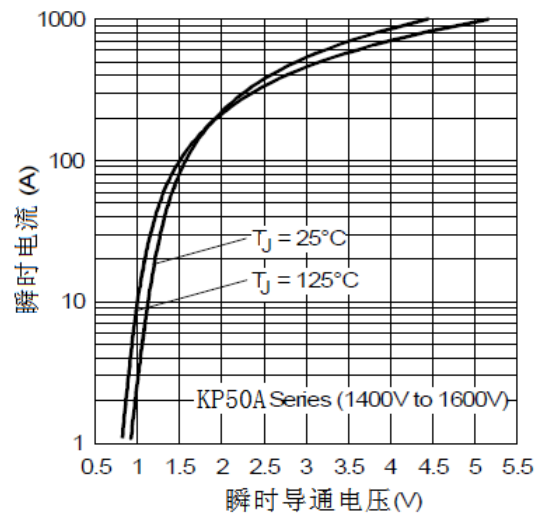


Fig. 14 - 正向压降特性

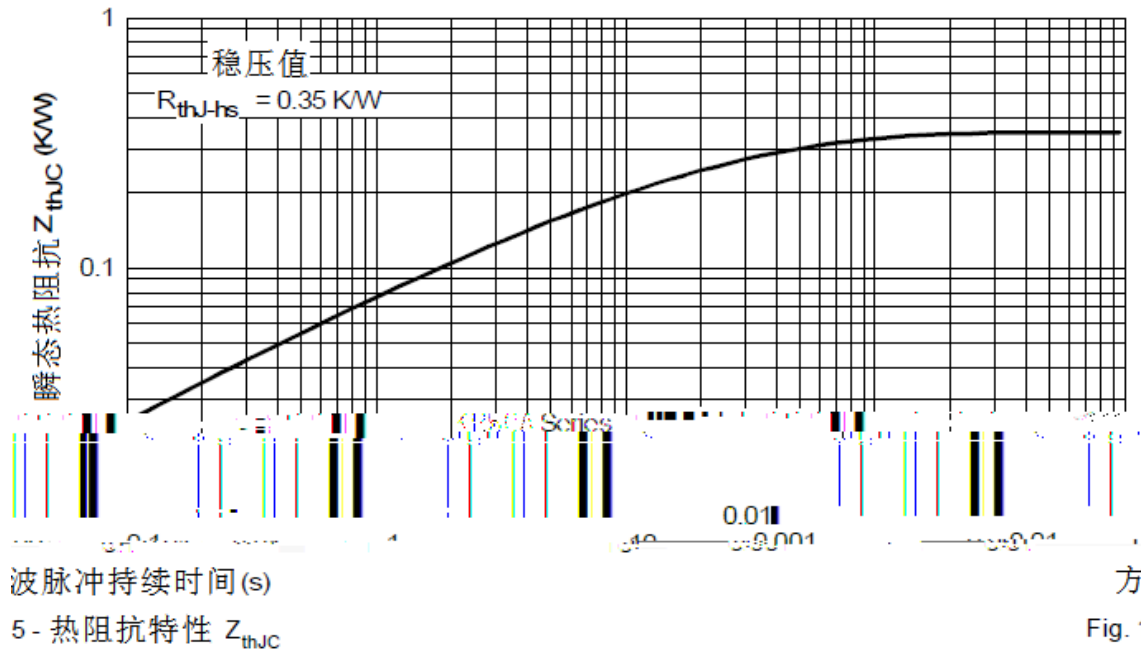
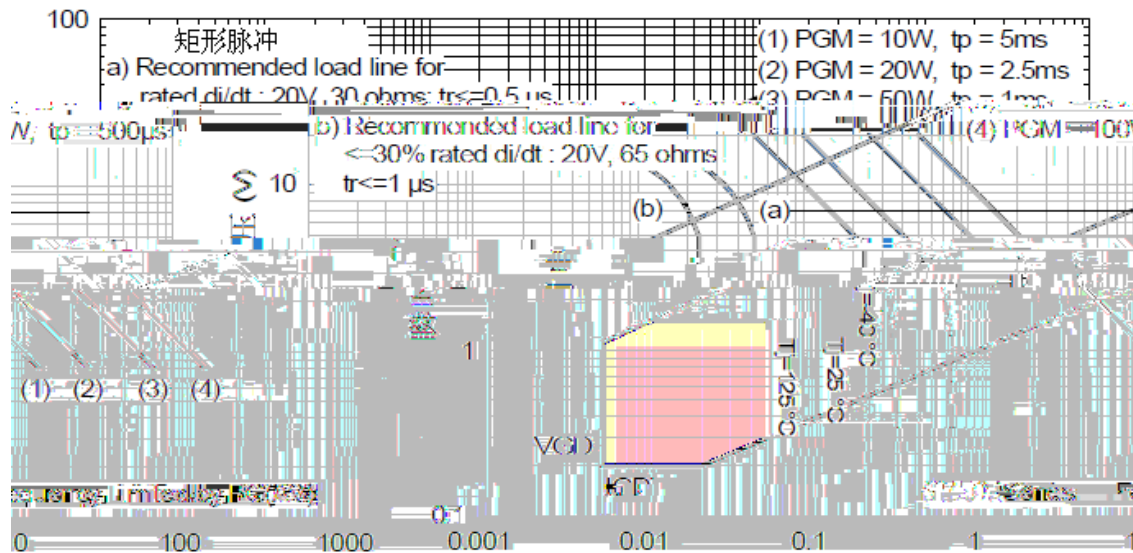


Fig. 1



瞬时电流的大门(A)

Fig. 16 - 栅极特性

外形图:

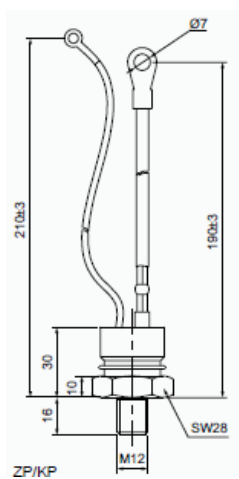


图 1

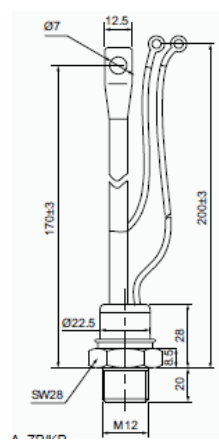


图 2